



ویژگی‌های کانی‌شناسی آمفیبول-پریدوتیت‌های مشهد

کورش محمدیها^{۱*}، محسن مؤذن^۱، اووه آلتنبرگر^۲، رباب حاجی علی اوغلی^۳

۱- گروه علوم زمین، دانشکده علوم طبیعی، دانشگاه تبریز

۲- سازمان زمین شناسی و اکتشافات معدنی کشور

۳- انیستیتو علوم زمین و محیط زیست، دانشگاه پتسدام، آلمان

(دریافت مقاله: ۹۵/۶/۲۹، نسخه نهایی: ۹۵/۸/۲۹)

چکیده: مجموعه سنگ‌های اولترامافیک مشهد به سن چینهای پرمین – تریاس، در شمال خاوری کوه‌های بینالود و در نزدیکی شهر مشهد (جنوب باخته تا شمال باخته) قرار گرفته است. این منطقه از سنگ‌های مافیک و اولترامافیک، سنگ‌های رسی و کربناتی دگرگون شده، گرانیت‌وئید و فیلیت‌های مشهد با راستای عمومی شمال باخته – جنوب خاوری تشکیل شده است. آمفیبول-پریدوتیت‌های سرپانتینی شده، اصلی‌ترین انواع سنگ‌های اولترامافیک در منطقه مورد بررسی است. کانی‌های تشکیل‌دهنده سنگ‌های الترامافیک این منطقه شامل اولیوین، ارتوپیروکسن، کلینوپیروکسن، آمفیبول قهقهه‌ای و کانی‌های تیره به عنوان کانی‌های باقیمانده از سنگ اولیه و کانی‌های گروه سرپانتین، ترمولیت-اکتینولیت، کلریت، مقادیر اندکی تالک و کانی‌های کربناتی هستند. دو نوع آمفیبول در این سنگ‌ها مشاهده می‌شوند. آمفیبول‌های نیمه شکل‌دار قهقهه‌ای با ترکیب پارگازیتی و آمفیبول‌های بی‌شکل و رشتهدی سبز کم-رنگ و یا بی‌رنگ با ترکیب ترمولیت-اکتینولیت. تغییرات نسبت‌های کاتیونی Al, Fe, Cr و Ti در ساختمان پارگازیت‌ها متأثر از فازهای مجاور آمفیبول (مانند کانی‌های اولیوین و پیروکسن و به ویژه فازهای آهن داری نظیر کرومیت) هستند. اطلاعات سنگنگاری ارتباط بافتی میان کانی‌ها) و ترکیب شیمیایی کانی‌ها نشان می‌دهد که پارگازیت‌های موجود در آمفیبول-پریدوتیت‌های منطقه با آمفیبول-پریدوتیت‌های گوشته‌ای متاسوماتیزه در یک منطقه فرورانشی همخوانی بیشتری دارند.

واژه‌های کلیدی: مجموعه اولترامافیک مشهد؛ آمفیبول پریدوتیت؛ پارگازیت؛ متاسوماتیسم گوشته‌ای؛ فرورانش.

های اولیه دیگر تعادل بافتی نشان می‌دهند و به نظر می‌رسد که از آمفیبول‌های اولیه باشند. این سنگ‌ها را آمفیبول-پریدوتیت می‌نامند. آمفیبول-پریدوتیت در دنیا کم است و این سنگ‌ها استثناء به حساب می‌آیند. بررسی آمفیبول-پریدوتیت و چگونگی تشکیل آنها در پریدوتیت و نقش سیالات در تشکیل پریدوتیت‌های پوسته‌ای (کومولایی) و گوشته‌ای اهمیت بسیاری دارد. در پریدوتیت‌های مجموعه سنگ‌های اولترامافیک منطقه مشهد آمفیبول‌هایی با تعادل بافتی با کانی‌های اولیه مشاهده می‌شوند و این سنگ‌ها را جزء آمفیبول-پریدوتیت‌ها قرار می‌دهد.

مقدمه

بررسی‌های زیادی روی سنگ‌های اولترامافیک مناطق مختلف جهان از نظر سنگ‌شناسی، کانی‌شناسی و سرشتی‌های ژئوشیمیایی کانی‌های تشکیل‌دهنده آنها صورت گرفته است (۱۶-۱۰). پریدوتیت معمولاً یک سنگ بدون آب در نظر گرفته می‌شود که بیشتر از کانی‌های الیوین، پیروکسن و اسپینل با نسبت‌های مختلف تشکیل می‌شود. کانی‌های آبدار مانند کانی‌های گروه سرپانتین، آمفیبول، کلریت و تالک کانی‌های اولیه نیستند و از آبگیری کانی‌های اولیه در فرایندهای دگرگونی و یا دگرسانی بعدی در این سنگ‌ها بوجود می‌آیند. با این حال بعضی از پریدوتیت‌ها دارای آمفیبول‌هایی هستند که با کانی-

صفحات برخوردي و سنگ‌های اولترامافيك جنوب یمن و شرق آفريقا که در محیط‌های كششی قرار دارند، مشاهده شده است [۱۵-۹].

به منظور بررسی شيميي آمفيبول موجود در پريديوتيت‌ها مشهد، بعد از برداشت‌های صحرابي و مطالعه دقيق مقاطع نازك از نظر روابط بافتی و کانی‌های تشكيل دهنده، تعداد ۴ EPMA نمونه از مقاطع ميكروскопوي اين سنگ‌ها به روش تجزيه شد. آناليزهای شيمييابي با استفاده از ريزپردازنده‌ي مدل JEOLJXA-8900K با ولتاژ ۱۵ کيلوات و جريان ۲۰ نانو آمپر با باريکه‌ي ۱۰-۲ ميكرومتر در دانشگاه پتسدام آلمان انجام شده است. فرمول ساختاري برای کانی آمفيبول بر اساس ۲۳ اكسيزن و ۱۵ کاتيون و نسبت Fe^{3+} به Fe^{2+} با استفاده از استوكيوتمتر [۱۶] محاسبه شده است که نتایج آن در جدول ۱ و جدول ۲ آمده است.

بررسی بافتی اين سنگ ها، ويژگي‌های شيمييابي آمفيبول‌های اوليه و فراياندهای تشكيل دهنده‌ي آمفيبول در اين پريديوتيت‌ها موضوع اين مقاله است. اين مقاله برای اولين بار آمفيبول-پريديوتيت‌ها را در اين منطقه و در ايران معرفی می‌کند. جانشين‌های شيمييابي فراوان در آمفيبول می‌تواند اطلاعاتي در مورد مراحل تکامل سيال‌ها در توده‌های اولترامافيك ارائه کند. مقدار Al^{IV} و Ti آمفيبول‌ها به دما و فشار محيطي و استقلي دارد و می‌توان از آن در بررسی شريطي پايداري پريديوتيت‌ها استفاده کرد [۷].

اكسبرگ [۸] جزء نخستین پژوهندگانی بود که با بررسی زنوليت‌های موجود در كيمبرليت‌ها، وجود آمفيبول را در سنگ‌های گوشته‌ی بالايی گزارش کرد. آمفيبول اوليه در سنگ‌های اولترامافيك در جايگاه‌های زمين‌شناختي مختلف مانند آفريقي جنوبی، كلرادو و آريزونا که روی كرانون‌های گسله و قديمی، زاين، كامچاتکا و آلاسكا که در حاشيه‌ی

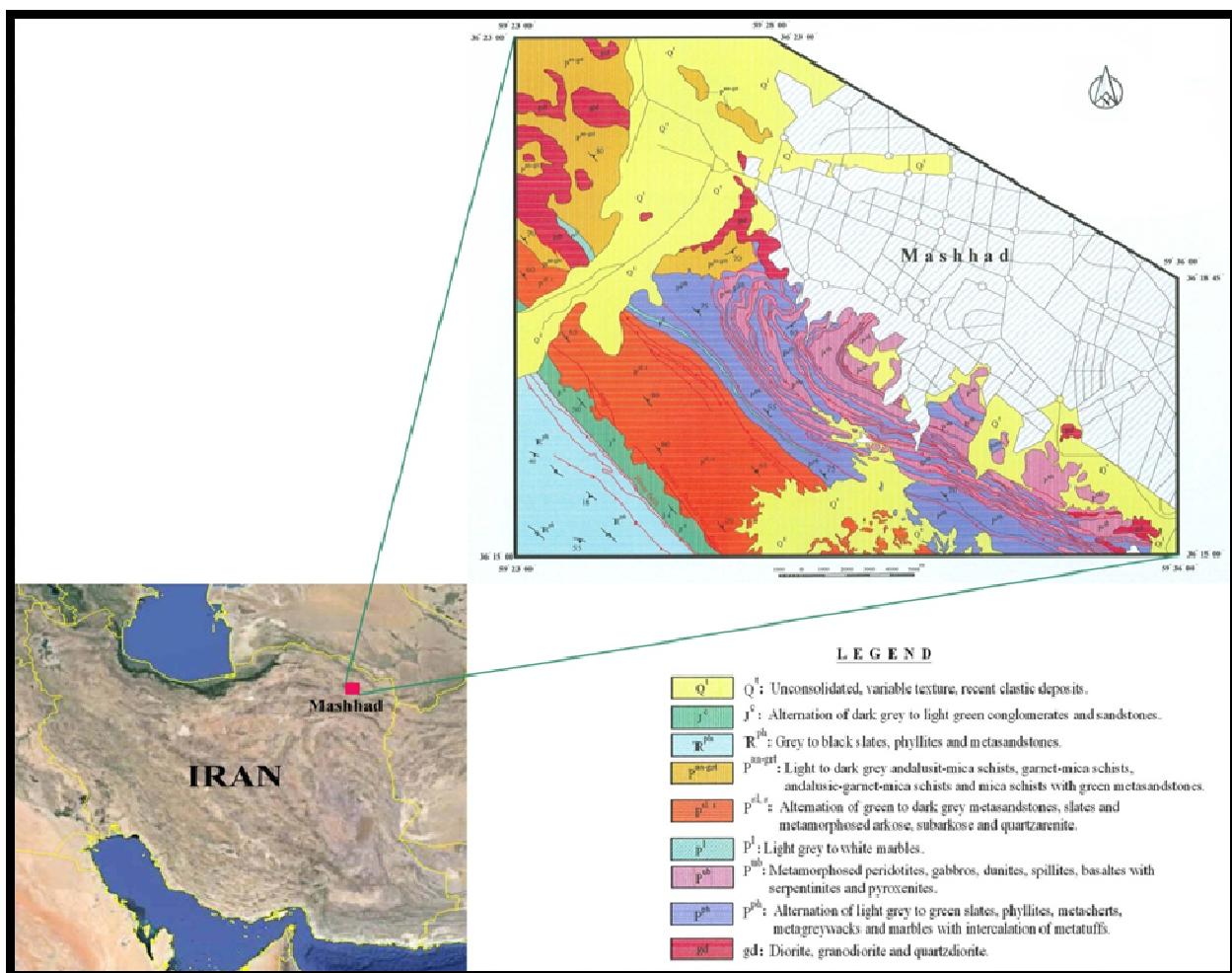
جدول ۱ نتایج آناليز مایکروپروب آمفيبول‌های اوليه در آمفيبول-پريديوتيت‌های سرتپانتنینی شده مشهد به همراه نتایج حاصل از محاسبه فرمول ساختاري بر اساس ۲۳ اكسيزن.

	۱-۱		۱-۲		۱-۳		۸						۱۲۲-۲			
	۶۰	۱۶۹	۶۳	۶۴	۱۷۵	۱۷۹	۶۶	۷۱	۷۸	۸۲	۱۸۳	۱۹۱	۱۷	۱۸	۱۷۳	
SiO ₂	۴۵,۰	۵۰,۷۴	۴۶,۱۰	۴۵,۳۳	۴۳,۷۲	۴۴,۹۵	۴۳,۴۲	۴۸,۲۶	۴۷,۶۱	۴۲,۹۸	۵۴,۹۴	۴۹,۵۰	۴۳,۸۶	۴۴,۳۶	۴۴,۲۲	
Al ₂ O ₃	۹,۴۰	۵,۹۵	۸,۴۲	۹,۳۰	۱,۰۵	۹,۵۹	۱۰,۸۹	۸,۵۳	۸,۳۹	۹,۹۵	۱,۷۸	۷,۰۳	۹,۵۶	۱۰,۰۲	۹,۷۶	
MgO	۱۷,۳۳	۲۰,۳۰	۱۸,۱۳	۱۷,۶۴	۱۶,۲۰	۱۷,۴۲	۱۶,۴۴	۱۸,۹۹	۱۸,۶۷	۱۵,۸۷	۲۲,۱۰	۱۸,۷۱	۱۵,۹۲	۱۴,۴۰	۱۶,۴۸	
CaO	۱۱,۴۲	۱۲,۰۱	۱۱,۴۶	۱۱,۸۱	۱۱,۷۷	۱۱,۵۱	۱۱,۷۹	۱۱,۹۴	۱۲,۱۶	۱۱,۴۱	۱۳,۱۸	۱۲,۲۵	۱۱,۳۸	۱۱,۶۱	۱۱,۴۰	
FeO	۷,۲۶	۵,۷۸	۶,۹۱	۷,۱۹	۷,۷۰	۷,۱۸	۷,۷۳	۶,۳۶	۶,۲۷	۷,۲۸	۳,۷۲	۶,۲۶	۹,۱۲	۸,۸۸	۹,۲۲	
K ₂ O	,۰۴۸	,۰۰۵	,۰۳۴	,۰۴۱	,۰۵۹	,۰۳۶	,۰۶۵	,۰۱۰	,۰۱۳	,۰۸۱	,۰۰۶	,۰۰۷	,۰۴۷	,۰۱۸	,۰۲۲	
Na ₂ O	۲,۶۱	۲,۰۴	۲,۴۴	۲,۳۸	۲,۴۸	۲,۵۴	۲,۴۸	۲,۴۷	۲,۴۰	۲,۶۸	,۰۷۷	,۰۰۱	,۲,۷۹	,۲,۷۹	,۲,۸۴	
TiO ₂	,۳۱۱	,۰,۰۶	,۲,۴۲	,۲,۴۳	,۲,۱۲	,۲,۸۷	,۳,۱۷	,۰,۳۴	,۰,۹۰	,۰,۲۱	,۰,۰۱	,۰,۴۳	,۳,۵۲	,۳,۲۱	,۲,۸۳	
Cr ₂ O ₃	,۰,۴۱	,۰,۰۰	,۰,۲۲	,۰,۲۴	,۰,۴۲	,۰,۱۹	,۰,۲۰	,۰,۰۰	,۰,۰۲	,۰,۷۰	,۰,۰۴	,۰,۱۶	,۰,۰۵	,۰,۰۲	,۰,۵۰	
MnO	,۰,۰۸	,۰,۱۱	,۰,۰۹	,۰,۱۱	,۰,۱۰	,۰,۰۸	,۰,۱۰	,۰,۱۰	,۰,۱۱	,۰,۱۲	,۰,۱۰	,۰,۱۲	,۰,۰۹	,۰,۱۷		
Total	۹۶,۷۴	۹۷,۰۳	۹۶,۲۰	۹۶,۶۰	۹۶,۲۲	۹۶,۴۸	۹۶,۶۶	۹۷,۹	۹۶,۶۴	۹۶,۲۱	۹۶,۶۶	۹۶,۴۸	۹۶,۷۴	۹۵,۶۳	۹۷,۱۴	
Formula based on 23(O)																
Si	۶,۴۸	۷,۰۹	۶۶۱	۶۵۱	۶۳۷	۶۴۶	۶۲۹	۶,۸۰	۶,۷۷	۶۳۱	۷,۶۶	۷,۰۴	۶۳۹	۶,۵۶	۶۳۷	
Al iv	۱,۵۲	,۰۹۱	۱,۳۹	۱,۴۹	۱,۶۳	۱,۵۴	۱,۷۱	۱,۲۰	۱,۲۲	۱,۶۹	,۰۲۹	,۰,۹۶	۱,۶۱	۱,۴۴	۱,۶۳	
Al vi	,۰,۰۷	,۰,۰۷	,۰,۰۳	,۰,۰۸	,۰,۱۹	,۰,۰۹	,۰,۱۵	,۰,۲۱	,۰,۱۸	,۰,۰۳	,۰,۰۰	,۰,۲۲	,۰,۰۳	,۰,۳۰	,۰,۰۲	
Ti	,۰۳۴	,۰,۰۱	,۰,۲۶	,۰,۲۶	,۰,۳۴	,۰,۳۱	,۰,۳۵	,۰,۰۴	,۰,۱۰	,۰,۵۸	,۰,۰۰	,۰,۰۵	,۰,۳۹	,۰,۳۶	,۰,۳۱	
Fe3+	,۰,۴۵	,۰,۶۶	,۰,۶۲	,۰,۵۱	,۰,۲۷	,۰,۵۱	,۰,۳۹	,۰,۶۲	,۰,۴۶	,۰,۰۴	,۰,۲۱	,۰,۳۵	,۰,۳۸	,۰,۰۰	,۰,۶۴	
Fe2+	,۰,۴۲	,۰,۰۱	,۰,۲۱	,۰,۳۵	,۰,۶۷	,۰,۳۵	,۰,۰۵	,۰,۱۳	,۰,۲۹	,۰,۸۶	,۰,۰۲	,۰,۴۰	,۰,۷۳	,۱,۱۰	,۰,۴۷	
Mn	,۰,۰۱	,۰,۰۱	,۰,۰۱	,۰,۰۱	,۰,۰۱	,۰,۰۱	,۰,۰۱	,۰,۰۱	,۰,۰۱	,۰,۰۱	,۰,۰۱	,۰,۰۲	,۰,۰۱	,۰,۰۲		
Cr	,۰,۰۵	,۰,۰۰	,۰,۰۳	,۰,۰۵	,۰,۰۲	,۰,۰۰	,۰,۰۰	,۰,۰۰	,۰,۰۰	,۰,۰۰	,۰,۰۲	,۰,۰۱	,۰,۰۰	,۰,۰۶		
Mg	,۳۷۱	,۴,۲۳	,۳,۸۷	,۳,۷۸	,۳,۵۲	,۳,۷۳	,۳,۵۵	,۳,۹۹	,۳,۹۶	,۲,۴۷	,۴۶۰	,۳,۹۷	,۳,۴۶	,۳,۱۹	,۳,۵۴	
Ca	۱,۷۶	۱,۸۰	۱,۷۶	۱,۸۲	۱,۸۴	۱,۷۷	۱,۸۳	۱,۸۰	۱,۸۵	,۱,۷۹	,۱,۹۷	,۱,۰۷	,۱,۷۸	,۱,۸۴	,۱,۷۶	
Na	,۰,۷۳	,۰,۵۵	,۰,۶۵	,۰,۶۶	,۰,۷۰	,۰,۷۱	,۰,۷۰	,۰,۶۷	,۰,۶۶	,۰,۲۱	,۰,۰۵	,۰,۷۹	,۰,۸۰	,۰,۷۹		
K	,۰,۰۹	,۰,۰۱	,۰,۰۶	,۰,۰۸	,۰,۱۱	,۰,۰۷	,۰,۱۲	,۰,۰۲	,۰,۱۱	,۰,۰۱	,۰,۰۱	,۰,۰۹	,۰,۰۳	,۰,۰۴		
(Ca+Na) (B)	۲,۰۰	۲,۰۰	۲,۰۰	۲,۰۰	۲,۰۰	۲,۰۰	۲,۰۰	۲,۰۰	۲,۰۰	۲,۰۰	۲,۰۰	۲,۰۰	۲,۰۰	۲,۰۰	۲,۰۰	
Na (B)	,۰,۲۴	,۰,۲۰	,۰,۲۴	,۰,۱۸	,۰,۱۶	,۰,۲۳	,۰,۱۷	,۰,۲۰	,۰,۱۵	,۰,۲۱	,۰,۰۳	,۰,۱۳	,۰,۲۲	,۰,۱۶	,۰,۲۴	
(Na+K) (A)	,۰,۵۸	,۰,۳۶	,۰,۴۷	,۰,۵۶	,۰,۶۵	,۰,۵۵	,۰,۶۵	,۰,۴۹	,۰,۵۴	,۰,۶۷	,۰,۱۹	,۰,۴۳	,۰,۶۵	,۰,۶۷	,۰,۵۹	
Mg(Mg+Fe2)	,۰,۹۰	,۱,۰۰	,۰,۹۵	,۰,۹۱	,۰,۸۴	,۰,۹۱	,۰,۸۷	,۰,۹۷	,۰,۹۳	,۰,۸۰	,۰,۹۵	,۰,۹۱	,۰,۸۳	,۰,۷۴	,۰,۸۸	
Al(Al+Fe3+Cr)	,۰,۹۷	,۰,۹۶	,۰,۹۸	,۰,۹۸	,۰,۹۷	,۰,۹۹	,۰,۹۹	,۰,۹۹	,۰,۹۶	,۰,۹۶	,۰,۹۶	,۰,۹۶	,۰,۹۰	,۰,۹۷		

بنا به اعتقاد بعضی از زمین‌شناسان این سنگ‌های اولترامافیک حاصل یک پدیده‌ی اقیانوس‌زایی دانسته شده‌اند که در پالخوزئیک پسین در اثر جدایش دو صفحه ایران و توران جایگیر شده‌اند. ولی برخی دیگر محیط ژئودینامیکی تشکیل این مجموعه را نوعی اولاکوژن می‌دانند که به کافت‌های اقیانوسی شباهتی ندارد [۱۸].

امروزه این باور وجود دارد که سنگ‌های یاد شده که سیمای آلوکتون‌های توربیدیاتی دارند. بازمانده‌های اقیانوس تیسیس کهن هستند که در تریاس پسین به صورت یک مجموعه برافرازیشی در منطقه‌ی فروزانش ورقه توران تشکیل و پس از دگرگون شدن روی منطقه‌ی غیرفعال ورقه‌ی ایران فرازاش کرده‌اند [۱۹].

زمین‌شناسی
گستره‌ی مورد بررسی در شمال خاوری ایران و در حد فاصل عرض‌های جغرافیایی "۰۰° ۱۵' - ۳۶° ۲۳' و طول‌های جغرافیایی "۰۰° ۵۹' - ۳۶° ۲۳' قرار دارد (شکل ۱). سنگ‌های اولترامافیک به شدت سرپانتینی شده مشهد با مجموعه‌های رسی دگرگون شده نظری‌السلیت، فیلیت و شیسته‌ای گارنت و استارولیت دار به صورت متناوب قرار دارند (شکل ۱). تناوب ظاهری این مجموعه اولترامافیک با سنگ‌های رسوبی پیرامون سبب شد تا سنگ‌های یاد شده نوعی جریان‌های گدازه‌ای همزمان با رسوب‌گذاری دانسته شوند. ولی ممکن است تکرار سنگ‌های اولترامافیک و ردیف‌های رسوبی دگرگون شده حاصل عملکرد راندگی‌ها در یک منشور برافرازینده باشد [۱۷].



شکل ۱ موقعیت منطقه و نقشه زمین‌شناسی محدوده مورد بررسی که واحدهای سنگی در آن نمایش داده شده است (اقتباس از [۲۰، ۲۱] با اندکی تغییرات).

نمی‌توان مورد بررسی قرار داد و این سنگ‌ها در حال حاضر بیشتر سرپانتینی شده‌اند. سنگ‌های سرپانتینی شده در این محدوده دارای تنوع رنگی از قهوه‌ای تیره تا قهوه‌ای کمرنگ و سبز تیره تا سبز کم رنگ هستند.

کانی‌های تشکیل دهنده‌ی سنگ‌های اولترامافیک منطقه که اغلب به صورت آمفیبیول-پریدوتیت هستند، عبارتند از اولیوین + کلینوپیروکسن \pm ارتوبیروکسن + آمفیبیول اولیه (پارگازیت) \pm اسپینل به عنوان کانی‌های اولیه و کانی‌های گروه سرپانتین + آمفیبیول ثانویه (ترمولیت و منیزیوهومنبلند) + کلریت + تالک به عنوان کانی‌های ثانویه حاصل از دگرگونی درجه پائین. آمفیبیول از جمله کانی‌هایی است که در این سنگ‌ها حضور گسترهای دارد. دو نسل آمفیبیول در این سنگ‌ها مشاهده می‌شود، ۱) هورنبلنده (Amp1) نیمه شکلدار تا بی‌شکل به رنگ قهوه‌ای و سرخ - قهوه‌ای که بین کانی‌های اولیوین و پیروکسن و گاهی مگنتیت قرار می‌گیرد و با این کانی‌ها در حال تعادل بافتی است (شکل ۲ ب، پ، ت، ج و الف، ت). ۲) آمفیبیول (Amp2) به رنگ سبز، سبز کمرنگ و بی‌رنگ که محصول دگرگونی درجه پائین کانی‌های فرومینیزین اولیه-ای نظیر پیروکسن و آمفیبیول‌های اولیه هستند. در اغلب نمونه‌ها، کلینوپیروکسن‌ها و یا آمفیبیول‌های گروه اول از حاشیه و یا در راستای رخ‌ها و محل شکستگی‌ها به آمفیبیول ثانویه تبدیل شده‌اند (شکل ۲).

سنگ‌های اولترامافیک مشهد به شدت سرپانتینی شده و سرپانتین در این سنگ‌ها به طور فراگیر جانشین اولیوین و گاهی پیروکسن شده است (شکل ۲ پ، ث و ج). در آمفیبیول-پریدوتیتها مشهد، ارتوبیروکسن کمیاب است و فقط در بخش‌هایی بلورهایی از آن که در حال تجزیه به آمفیبیول ثانویه هستند مشاهده می‌شود (شکل ۲ ث). کلینوپیروکسن بیشتر به صورت میان دانه‌ای در میان بلورهای اولیوین قرار دارد. فلوگوپیت و پلازیوکلاز در این سنگ‌ها مشاهده نشده است. اسپینل به صورت دانه‌های قهوه‌ای - قهوه‌ای تیره گاهی به-وسیله‌ی بلورهای اولیوین محصور می‌شود و گاهی نیز به صورت بلورهای خودشکل مشاهده می‌شود. گسترش این کانی در سنگ‌های مورد مطالعه ۱ تا ۳ درصد سنگ را شامل می‌شود. به نظر برخی از پژوهشگران [۳۰، ۳۱] تبلور و تشکیل کانی کروم اسپینل بی‌شکل بر اساس واکنش زیر اتفاق می‌افتد:

قرارگیری اتفاقی سنگ‌های اولترامافیک و رسوب‌های پلازیک ناپیوسته آق دربند، مشهد، جنوب باختری ازیل و منطقه‌ی الهیارلو (اهر) می‌تواند شاهدی بر زمین درزی کهن در شمال ایران باشد که مرزی بین ورقه‌ی توران (اوراسیا) و ورقه-ی ایران (گندوانا) داشته می‌شود. ولی بعضی از زمین‌شناسان [۲۲-۲۴] از آن به عنوان پالئوتیس دوم یاد کرده‌اند.

سنگ‌های اولترامافیک مشهد طی سالیان گذشته توسط زمین‌شناسان متعددی مورد بررسی‌های زمین‌شناختی قرار گرفته است. مجیدی [۲۵] ضمن مقایسه این سنگ‌های اولترامافیک با سنگ‌های کربونیفر شمال افغانستان و توران، سن سنگ‌های یادشده را به دونین - کربونیفر نسبت داد که در اثر رخداد هرسی نین، گاهی تا رخساره آمفیبیولیت دگرگون شده‌اند. بازنگری دوباره‌ی این سنگ‌ها [۲۶، ۲۴] با پیدا شدن سنگواره‌هایی به سن پرمین میانی - پسین در لایه‌های آهکی پلازیک همراه با سنگ‌های مافیک و اولترامافیک در ناحیه سفیدسنگ، مشخص کرد که کلیه فازهای دگرگونی منسوب به پالئوزوئیک مشهد، مربوط به سیمیرین پیشین و فازهای جوان‌تر (سیمیرین میانی) است.

با سال‌سنگی $^{40}\text{Ar}/^{39}\text{Ar}$ هورنبلندهای موجود در سنگ-های مافیک، سن این مجموعه از ۲۸۲-۲۸۸ میلیون سال محاسبه شده است [۲۷]. هر چند بررسی‌های بعدی با استفاده از روش U-Pb زیرکن‌های موجود در گابروهای افیولیت منطقه دره انجیر، سن این مجموعه را 380.6 ± 3.7 و 382.9 ± 3.7 میلیون سال نشان می‌دهد [۲۸].

مجموعه سنگ‌های اولترامافیک با رسوب‌های دگرگون شده همراه خود توسط کنگلومرا، ماسه سنگ و شیل‌های ژوراسیک میانی (سازند کشف رود) به صورت ناپیوسته‌ی زاویدار و دگرگشیب پوشیده می‌شوند. سازند کشف رود منطقه‌ی برخوردي پالئوتیس بین ایران و اوراسیا را می‌پوشاند [۲۹].

سنگ‌نگاری

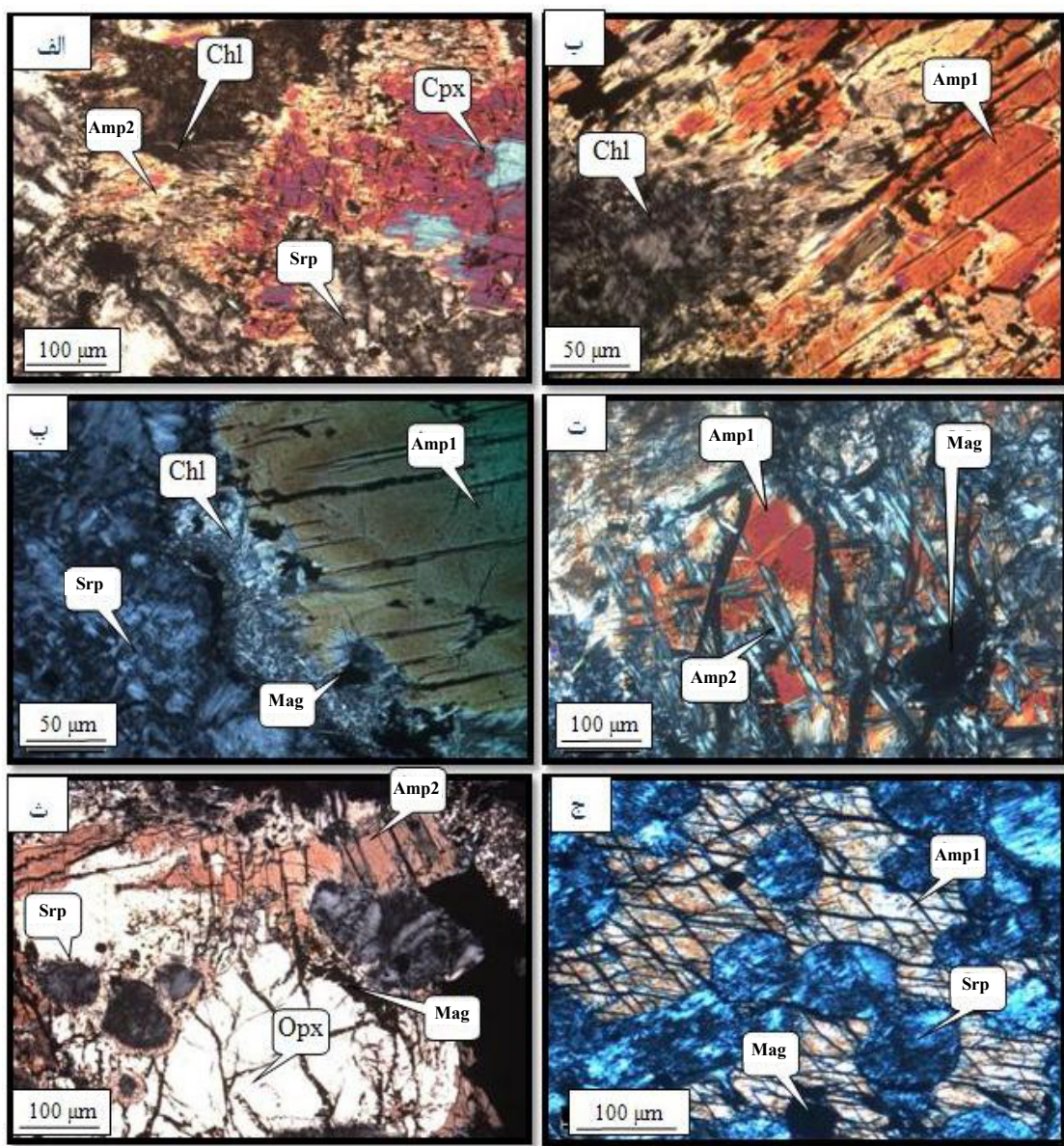
سنگ‌های اولترامافیک مشهد شامل دونیت، هارزبورزیت، ورلیت و انواع پیروکسنیت‌ها هستند. این مجموعه به دلیل انواع دگرگونی‌های ناحیه‌ای، گرمایی و دینامیکی دگرگون و سپس دگرسان شده‌اند و به همین دلیل بافت اولیه سنگ‌های اولترامافیک رخنمون یافته در منطقه‌ی مشهد را به راحتی

اولترامافیک مشهد در جدول ۱ و ۲ آمده است. در کانی‌های آمفیبول این سنگ‌ها میزان اکسیدها از ۹۵/۱۵ تا ۹۷/۸۲٪ در تغییر است. در این کانی‌ها میزان کلسیم در حدود ۱۶۹۱ تا ۲۰۲۶ اتم در واحد فرمولی و میزان سدیم ۰/۰۳۸ تا ۰/۰۵۰ اتم در واحد فرمولی است.

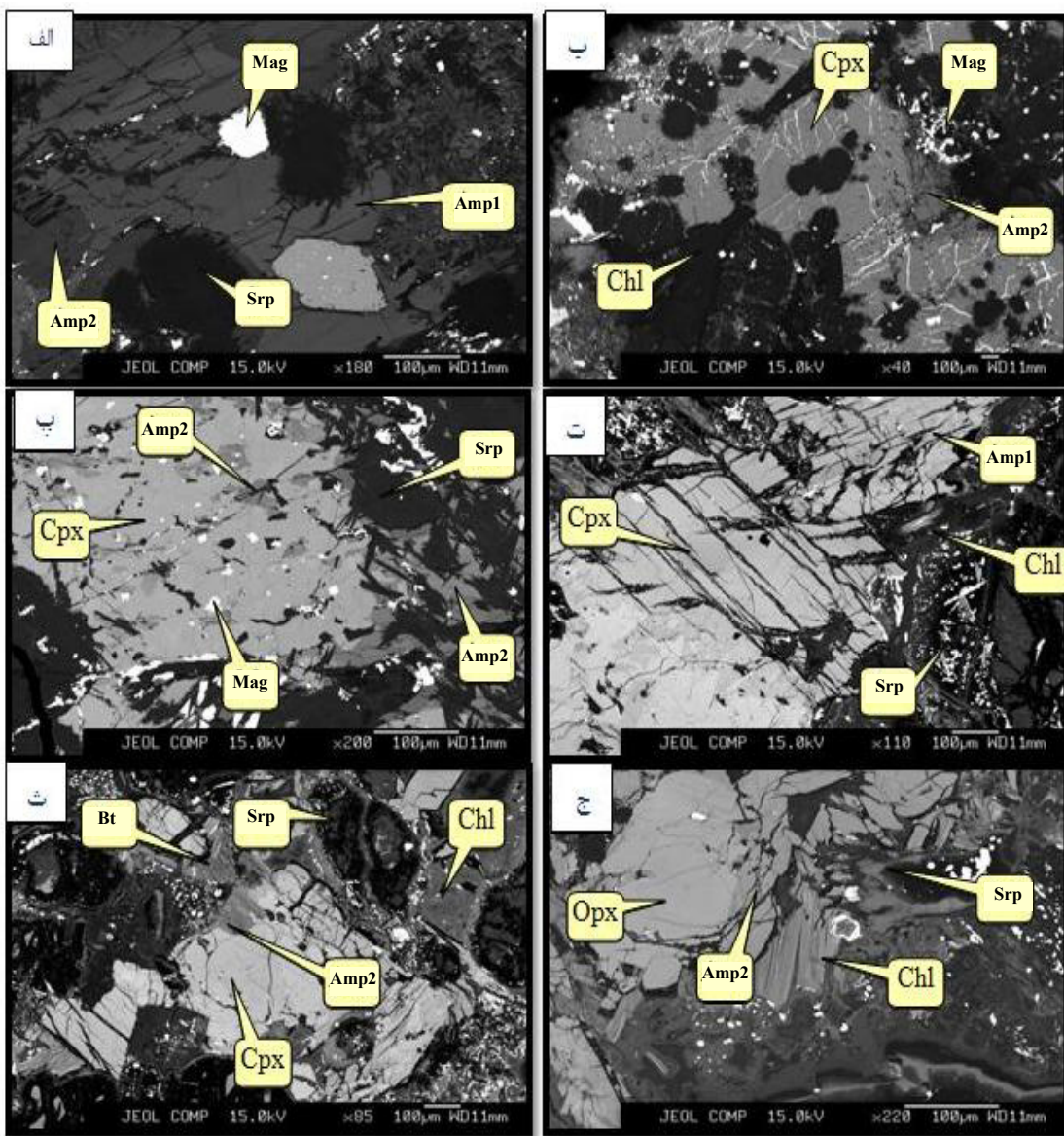
پیروکسن غنی از آلمینیوم و کروم + اولیوین \longleftrightarrow پیروکسن فقیر از آلمینیوم و کروم + کروم اسپینل. تصاویر به BSE به خوبی نشانگر تجزیه کانی‌های اولیه به محصولات ثانویه هستند (شکل ۳).

شیمی کانی آمفیبول

نتایج حاصل از آنالیز نقطه‌ای این کانی در سنگ‌های



شکل ۲ (الف) تبدیل کلینوپیروکسن از حاشیه به اکتینولیت، (ب) تبدیل پارگازیت درشت اولیه به کلریت، (پ) تبدیل پارگازیت از حاشیه به کلریت، (ث) تبدیل پارگازیت به اکتینولیت، (ج) تبدیل ارتوپیروکسن به منیزیوهورنبلند، (ج) پارگازیت بین سریانتین حاصل از اولیوین قرار گرفته است. علائم اختصاری مورد استفاده در این تصاویر از [۳۲] اقتباس شده است. (همه تصاویر در نور XPL.)



شکل ۳ تصاویر از سنگ‌های اولترامافیک مشهد که روابط بافتی بین کانی‌های مختلف را نشان می‌دهد؛ (الف) تبدیل پارگازیت (Amp1) به منیزیوهرنبلند (Amp2)، (ب، پ و ث) تبدیل کلینوپیروکسن به آمفیبول، (ت) قرارگیری کلینوپیروکسن و پارگازیت در مجاورت هم، (ج) تبدیل ارتوپیروکسن به آمفیبول، (علائم اختصاری مورد استفاده در این تصاویر از [۳۲] اقتباس شده است).

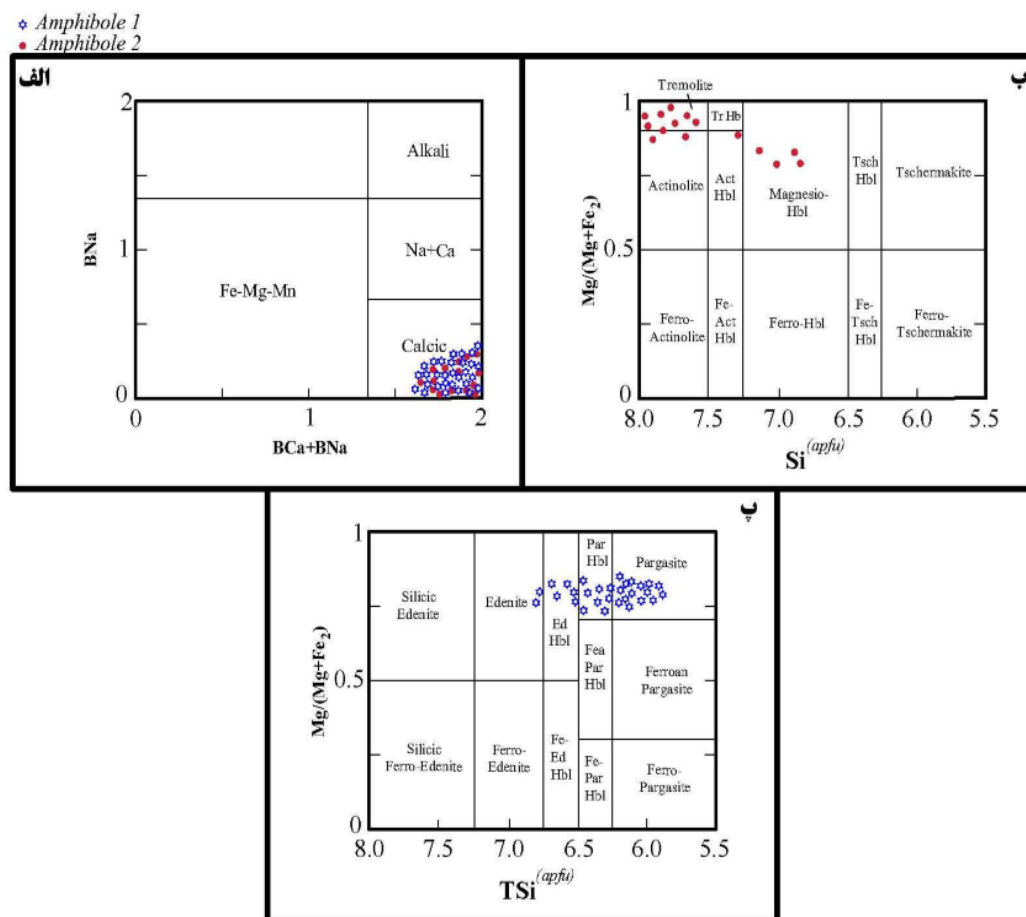
آمفیبول‌های اولیه در سنگ‌های اولترامافیک دارای میزان تیتانیوم بالایی هستند (میزان TiO_2 بین ۱/۳ تا ۲/۷ درصد وزنی) و آمفیبول‌های ثانویه مقدار تیتانیوم پائینی دارند (میزان TiO_2 کمتر از ۰/۷ درصد وزنی)، علاوه بر آن آمفیبول‌های اولیه $\text{Mg}^{\#}$ بالا (۹۲/۵ تا ۹۱/۶)، کروم بالای Cr_2O_3 (بین ۰/۵ تا ۲ درصد وزنی) و K بالا (K_2O بین ۰/۵۴ تا ۰/۳۶ وزنی) هستند [۳۴].

تغییرات نسبت‌های کاتیونی در پارگازیت‌ها به شدت متأثر از کانی‌های مجاور و همزیست خود است. برای مثال میزان

بر اساس رده‌بندی لیک و همکاران [۳۳] تمام آمفیبول‌های موجود در سنگ‌های اولترامافیک در گروه آمفیبول‌های کلسیک قرار می‌گیرند (شکل ۴ الف). آمفیبول‌های قهوه‌ای و سرخ-قهقهه‌ای دارای $(\text{Ca}+\text{Na})_B \leq ۱/۳۴$ و $\text{Ti} < ۰/۵$ ، $\text{Na}_B < ۰/۶۷$ است. این آمفیبول‌ها دارای ترکیب پارگازیت، هورنبلند پارگازیتی و هورنبلند ادنیتی هستند (شکل ۴ پ). آمفیبول‌های ثانویه سیز، سیز کمرنگ و بی رنگ دارای ترکیب منیزیو هورنبلند، اکتینولیت و ترمولیت هستند (شکل ۴ ب).

دارد و شاید به همین دلیل است که آمفیبول‌های پارگازیتی مجاور اکسیدهای آهن و تیتانیوم مقدار بیشتری جانشینی دوگانه ادنیتی و چرماتیتی در ترکیب خود دارند. توزیع Fe و Al^{VI} در آمفیبول‌ها نشان می‌دهد که آمفیبول‌های پارگازیتی موجود در آمفیبول-پریدوتیت‌های مشهد مقدار کمتری از این کاتیون‌ها را دارایند. به همین دلیل در این پارگازیت‌ها، کاتیون Al در جایگاه‌های M₂ و M₃ توزیع شده‌اند و اثری از کاتیون Al در جایگاه M₁ وجود ندارد. با توجه به بررسی‌های [۳۷-۳۵]، دو عامل برای آن می‌توان در نظر گرفت: ۱) مقدار بسیار کم Fe در ترکیب شیمیایی، ۲) مقدار کم در ساختار آمفیبول‌های مورد بررسی به دلیل ابیشت آهن در فازهای آهن داری مانند مگنتیت و کرومیت آهن دارد.

کاتیون‌های Al^{IV}, Cr و Ti در آمفیبول‌های پارگازیتی مجاور اسپینل (مانند نمونه‌های ۲۰، ۳۶، ۴۳، ۵۶، ۶۳، ۸۲ و ۱۷۳) نسبت به آمفیبول‌های مجاور با اولیوین و پیروکسن (مانند نمونه‌های ۲۶، ۳۳، ۴۶، ۱۹۱، ۱۷۵، ۱۶۹، ۷۱ و ۲۲۸) به مراتب بیشتر است. بررسی توزیع کاتیون‌های A_A و Na_B در آمفیبول‌ها حاکی از آن است که توزیع آن‌ها متأثر از کانی مجاور نیست ولی پارگازیت‌هایی که در مجاورت با اولیوین هستند حاوی کاتیون Na_B کمتری در ترکیب خود هستند. در مجموع این بررسی‌ها نشان می‌دهند که هم کرومیت و هم کانی‌های سیلیکاتی در تغییرات ترکیبی آمفیبول‌ها تأثیرگذارند و به نظر می‌رسد حضور یا عدم حضور کرومیت، ایلمینیت و مگنتیت نسبت به سیلیکات‌ها تأثیر بیشتری در این تغییرات



شکل ۴ الف و ب) موقعیت آمفیبول‌های موجود در سنگ‌های اولترامافیک مشهد در نمودار لیک و همکاران [۳۳]، (آمفیبول‌های شکلدار و نیمه شکلدار قهقهه‌ای و سرخ-قهقهه‌ای میان کانی‌های اولیوین و پیروکسن به صورت ستاره آبی و آمفیبول‌های سبز و یا بی رنگ حاصل از دگرگونی به صورت دایره سرخ).

بحث

با توجه به روابط بافتی و ترکیب شیمیایی پارگازیت‌های شکلدار و نیمه‌شکلدار موجود در آمفیبیول-پریدوتیت‌های مشهد می‌توان استنباط کرد که این آمفیبیول‌ها در اثر دگرنهادی سنگ‌های پریدوتیتی گوشه‌ای تشکیل یافته‌اند.

به عقیده‌ی برخی از پژوهشگران [۵۱] آمفیبیول می‌تواند در یک گستره‌ی گسترده‌ی گدازه‌مافیک و اولترامافیک در شرایط دما و فشار ثابت در گوشه‌های فوقانی و یا پوسته رشد کند و از طرفی به نظر می‌رسد که بیشتر آمفیبیول‌ها نمی‌توانند در اعماق بیشتر از $80 - 100$ کیلومتر به صورت پایدار باقی بمانند. عدم حضور کانی پلاژیوکلاز در سنگ‌های اولترامافیک نیز نشان می‌دهد که عمق تشکیل این سنگ‌ها باستی بیشتر از 35 کیلومتر باشد [۵۲]. بدین ترتیب آمفیبیول‌های پارگازیتی موجود در پریدوتیت‌های مشهد در عمقی بین 35 تا حداقل 100 کیلومتری تبلور گشته‌اند.

حضور کانی‌های آبدار به نفوذ و واکنش عوامل دگرنهاد با پریدوتیت‌های خشک ارتباط دارد [۵۳]. بررسی‌ها نشان می‌دهد که حضور آمفیبیول و میکا در پریدوتیت‌ها، به منابع آبی مختلف وابسته است [۵۴]. این منابع ممکن است آب دریای نفوذ کرده در سنگ‌های پوسته‌ای عمیق باشد و یا ماجمای صعود کرده از گوشه‌های شاره‌های آبی جوان باشد.

بر اساس بررسی‌های صحرایی تماس میان سنگ‌های پریدوتیتی و سنگ‌های رسوبی دگرگون در منطقه‌ی گسل رخ می‌دهد. از این‌رو پیش بینی می‌شود که مجموعه‌ی اولترامافیک که قطعاتی از گوهی گوشه‌ای است در اثر دگرنهادی ناشی از شاره‌های آبدار آزاد شده در منطقه فروزانشی، سرپانتینی شده و در اثر کاهش چگالی به صورت تیغه‌های افزایشی روی سطح زمین رخمنون می‌شوند.

در بررسی عناصر موجود در ترکیب شیمیایی آمفیبیول‌ها، به ویژه عناصر کمیاب، REE و HFSE می‌توان ماهیت عوامل دگرنهاد کننده را که در پریدوتیت‌های گوشه‌ای نفوذ کرده‌اند مشخص کرد، هرچند پیش بینی دقیق ترکیب مذاب دگرنهاد کننده از نظر کمی بسیار مشکل است [۴۹، ۵۵]. برای مثال تهی شدگی Ti در مذاب‌های دگرنهاد کننده بوسیله محتوای پائین Ti در آمفیبیول‌های پارگازیتی تأیید می‌شود. از این رو چنین استنباط می‌شود که محتوای Ti آمفیبیول پارگازیتی به ترکیب عامل دگرنهاد است [۴۹]. از بررسی‌های انجام شده معلوم شد که مطالعات مؤید این مطلب است که آمفیبیول‌های

از مثال‌های خوب برای خاستگاه گوشه‌های فوقانی پارگازیت‌های همراه با اولیوین‌های غنی از فورستریت، استاتیت، دیوپسید و کرومیت می‌توان به بلوك‌های رانده شده Ataq در جنوب یمن، منطقه Engaruka در شمال تانزانیا، معدن Monastery در آفریقای جنوبی و منطقه‌ی ایفل در غرب آلمان اشاره کرد [۳۸]. بر پایه‌ی بررسی‌های داؤسون و اسمیت [۳۸] آمفیبیول-هایی که در زینولیت‌های مربوط به گوشه‌ی فوقانی وجود دارند، بافت‌های متفاوتی را نشان می‌دهند. بعضی از آنها با فازهای مجاور خود در حال تعادل هستند، برخی دیگر به صورت اینترکومولوس بوده و بعضی هم حاصل جانشینی و دگرسانی کانی‌های اولیه می‌باشند.

برای تشکیل آمفیبیول در سنگ‌های اولترامافیک نظرهای مختلفی از سوی پژوهندگان ارائه شده است. به عقیده‌ی از زمین‌شناسان [۴۳-۴۹] آمفیبیول از تبلور ماجمای اولیه میان کانی‌های کومولاوی تشکیل شده است. به عقیده‌ی فری و برینتز [۴۴] پارگازیت‌ها و هورنبلندهای پارگازیتی شکلدار و نیمه شکلداری که همراه با اولیوین و کلینوپیروکسن مشاهده می‌شوند را می‌توان ناشی از تبلور ماجمای باقی مانده از جدایش بلورین در پریدوتیت‌های پوسته‌ای (کومولاوی) در نظر گرفت. در حالی که برخی دیگر [۴۷-۴۵] معتقدند حضور آمفیبیول در این سنگ‌ها ناشی از دگرنهادی حالت جامد است. به عبارتی در سنگ‌های اولترامافیک، آمفیبیول در اثر واکنش سیال حاوی مواد فرار با سیلیکات‌های فرومیزین مانند اولیوین و پیروکسن تشکیل می‌شود. در واقع تبلور سیلیکات‌های بی آب و درشت بلور، مانند اولیوین، ممکن است به یک مرحله‌ی اولیه پیش از نفوذ مواد فرار ارتباط داشته باشد. می‌توان تصور کرد که گدازه‌های آبدار در اعمق لیتوسفری زیاد در داخل پریدوتیت‌ها نفوذ کرده و در اثر دگرنهادی، باعث تشکیل آمفیبیول‌های پارگازیتی می‌شوند [۴۸].

برخی پژوهندگان [۴۹] معتقدند که آمفیبیول‌های پارگازیتی معمولاً در پریدوتیت‌های گوشه‌ای دگرنهاد شده یافت می‌شوند. به عقیده‌ی [۵۰] آمفیبیول‌های گوشه‌ای در ترکیب خود شامل Ti کمتر TiO_2 بین 0.01 تا 0.42 درصد وزنی) و Al بیشتری (Al_2O_3 بین 10.33 تا 14.74 درصد وزنی) نسبت به آمفیبیول‌های ناشی از پوسته هستند.

- Stillwater Complex, Montana*", U.S. Geological Survey Professional Paper 800-C (1972) C29-C37.
- [5] Raedeke L.D., "Petrogenesis of the Stillwater Complex", Seattle, Wash., University of Washington, Ph.D. dissertation (1982) 212 p.
- [6] Raedeke L.D., McCallum I.S., "Investigations in the Stillwater Complex: Part II. Petrology and petrogenesis of the Ultramafic series", Journal of Petrology 25 (1984) 395-420.
- [7] Helz R.T., "Phase relations of basalts in their melting range at $P\text{H}_2\text{O} = 5 \text{ kb}$ as a function of oxygen fugacity, Pt. 1, Mafic phases", Journal of Petrology 14 (1973) 249-302.
- [8] Oxburgh E. R., "Petrological evidence for presence of amphibole in the upper mantle", Geol. Mag. 101 (1964) 1-19.
- [9] Taylor H.P. Jr., "The zoned ultramafic complexes of southeastern Alaska", In: Wyllie P. J. (ed) Ultramafic and related rocks. Wiley, New York, (1967) 97-121.
- [10] Snone A.W., Quick J.E., Bowman H.R., "Bear Mountain igneous complex, Klamath Mountains, California: an ultrabasic to silicic calc-alkaline suite", J Petrol 22 (1981) 501-552.
- [11] Nixon G.T., Cabri L.J., Laflamme J.H.G., "Platinum-group-element mineralization in lode and placer deposits associated with the Tulameen Alaskan-type complex", British Columbia. Can Mineral 28 (1990) 503-535.
- [12] Kepezhinskas P. K., Taylor R.N., Tansaka H., "Geochemistry of plutonic spinels from the north Kamchatka Arc: comparisons with spinels from other tectonic settings", Mineral Mag 57 (1993) 575-589.
- [13] Tistl M., Burgath K.P., Hohndorf A., Kreuzer H., Munoz R., Salinas R., "Origin and emplacement of Tertiary ultramafic complexes in northwest Colombia: evidence from geochemistry and K-Ar, Sm-Nd and Rb-Sr isotopes", Earth Planet Sci Lett 126 (1994) 41-59.
- [14] Feshtater G.B., Montero P., Borodina N.S., Pushkarev E.V., Smirnov V.N., Bea F., "Uralian magmatism: an overview", Tectonophysics 276 (1997) 87-102.
- [15] Hafez A.M.A., Abdel Kader Z., Shalaby I.M., "Zoned mafic-ultramafic complex in Wadi Abu Hamamid, South Eastern Desert", Ann Geol Surv Egypt XVII (1991) 53-65.
- [16] Droop G. T. R., "A general equation for estimating Fe^{3+} concentrations in ferromagnesian silicates and oxides from microprobe analyses, using stoichiometric criteria", Mineralogical Magazine 51 (1987) 431-450.

موجود در پریدوتیت‌های گوه گوشه‌ای میزان کمتری نسبت به آمفیبول‌های موجود در زنولیت‌های جایگاه‌های میان صفحه‌ای دارند [۴۹]. با بررسی محتوای تیتانیوم پارگازیت‌های موجود در آمفیبول-پریدوتیت‌های مشهد می‌توان دریافت که میزان تیتانیوم در پارگازیت‌ها و هورنبلند پارگازیتی این سنگ-ها به میزان تیتانیوم آمفیبول‌های مربوط به پریدوتیت‌های گوه گوشه‌ای نزدیک است و بسیار پائین‌تر از مقدار آن در آمفیبول‌هایی است که در زنولیت‌های گوشه‌ای موجود در جایگاه‌های میان صفحه‌ای معرفی شده‌اند.

برداشت

به طور کلی با توجه به بررسی‌های روابط صحرایی، سنگ‌نگاری و نتایج بررسی‌های شیمیایی می‌توان نتیجه گرفت که پریدوتیت‌های مشهد تحت تأثیر مذاب‌ها و سیالات آبدار گوشه‌ای قرار گرفته‌اند که احتمالاً با فرورانش همراهی و واپستگی دارند. به عبارتی دیگر این مجموعه به صورت قطعات پوسته‌ی اقیانوسی و گوشه‌ای هستند که دستخوش تغییر در یک جایگاه فرورانشی شده‌اند. این پریدوتیت‌ها در محیط فرورانشی (ابرفرورانشی) بوسیله مagmaهای قوسی مشتق شده از گوهی گوشه‌ای متاسوماتیزه شده و این فرایند به تشکیل آمفیبول‌های پارگازیتی منجر شده است.

نتایج بررسی عناصر فرعی، به ویژه عناصر REE در کانی‌هایی از قبیل پیروکسن و آمفیبول برای پی بردن به ماهیت و ترکیب دقیق ژئوشیمیایی مagma و سیالات متاسوماتیسم کننده پریدوتیت‌های گوشه‌ای بسیار مفید و سودمند است تا نسبت به تعیین خاستگاه این سیالات و نیز احتمال تأثیر مواد پوسته‌ای در آلایش این سیالات تصمیم گرفت.

مراجع

- [1] Jackson E.D., "Primary textures and mineral associations in the ultramafic zone of the Stillwater Complex, Montana", U.S. Geological Survey Professional Paper 358 (1961) 106 p.
- [2] Jackson E.D., "Ultramafic cumulates in the Stillwater, Great Dyke, and Bushveld intrusions", in Wyllie, P. J., ed., Ultramafic and related rocks, New York, John Wiley (1967) 20-38.
- [3] Jackson E.D., "The origin of ultramafic rocks by cumulus processes", Fortschritte Mineralogie, 48 (1971) 128-174.
- [4] Page N.J, Shimek R., Huffman C.Jr., "Grain-size variations within an olivine cumulate,

- NE Iran, Gondwana Research (2014), <http://dx.doi.org/10.1016/j.gr.2014.06.009>
- [29] Zanchi A., Zanchetta S., Berra F., Mattei M., Garzanti E., Molyneux S., Nawab A., Sabouri J., "The Eo-Cimmiran (Late? Triassic) orogeny in north Iran", Geological Society, London, Special Publications, 312 (2009) 31-55.
- [30] Arai S., Fujii T., "Petrology of ultrabasic rocks from Site 395", in Initial Reports of DSDP, 45 (1978) 587-594, Melson W.G., et al. (Eds.), Washington (US Govt. Printing Office).
- [31] Juteau T., Berger E., Cannat M., "Serpentinized residual mantle peridotites from the MAR median valley, ODP Hole 670A (21° 10' N, 45° 02' W, Leg 109)", Primary mineralogy and geothermometry, Proceedings of ODP Scientific Results, 106/109 (1990) 27-45.
- [32] Whitney D.L., Evans B.W., "Abbreviations for names of rock-forming minerals", American Mineralogist, 95 (2010) 185-187.
- [33] Leake B.E., Woolley A.R., Arps C.E.S., Birch W.D., Gilbert M.C., Grice J.D., Hawthorne F.C., Kato A., Kisch H.J., Krivovichev V.G., Linthout K., Laird J., Mandarino J.A., Maresch W.V., Nickel E.H., Rock N.M.S., Schumacher J.C., Smith D.C., Stephenson N.C.N., Ungaretti L., Whittaker E.J.W., Youzhi G., "Nomenclature of amphiboles: Report of the subcommittee on amphiboles of the International Mineralogical Association, Commission on new minerals and mineral names", American Mineralogist 82 (1997) 1019-1037.
- [34] Bazylev B.A., Silantiev S.A., Dick H.G.B. Konokova N.N., "Magmatic amphiboles and micas in oceanic peridotites and some specific features of the related magmas: 15° 20' N MAR Fracture Zone", Russian Journal Of Earth Sciences, 3 (2001) 219-234.
- [35] Raudsepp M., Turnock A.C., Hawthorne F.C., "Amphibole synthesis at low pressure: what grows and what doesn't", Eur. J. Mineral. 3 (1991) 983-1004.
- [36] Raudsepp M., Turnock A.C., Hawthorne F.C., Sherriff B.L., Hartman J.S., "Characterization of synthetic pargasitic amphibole (Na Ca₂Mg₄M⁺³Si₆Al₂O₂₂(OH,F)₂; M⁺³ = Al, Cr, Ga, Sc, In) by infrared spectroscopy, Rietveld structure refinement, and ²⁷Al, ²⁹Si and ¹⁹F MAS NMR spectroscopy", Am. Mineral. 72 (1987) 580-593.
- [37] Welch M.D., Kolodziejski W., Klinowski J., "A multinuclear NMR study of synthetic pargasite", Am. Mineral. 79 (1994) 261-268.
- [17] Alavi M., "Sedimentary and structural characteristics of the Paleo-Tethys remnants in northeastern Iran", Geological Society of America Bulletin, 103 (1991) 9183-9192.
- [۱۸] سبزه‌ئی، م.، "پدیده‌های تفریق در ماقماهای اولترابازیک: برداشت‌هایی از گدازه‌های لایه‌ای اولترامافیک - مافیک اولاکوژن‌های پالئو زوئیک ایران زمین"، سیزدهمین گردهمایی علوم زمین، سازمان زمین‌شناسی کشور، (۱۳۷۳) ص ۶۵ - ۷۸.
- [۱۹] آقانباتی ع.، "زمین‌شناسی ایران، سازمان زمین‌شناسی و اکتشافات معدنی کشور", (۱۳۸۳) ۶۰۹ صفحه.
- [۲۰] قائمی ف.، "نقشه زمین‌شناسی ۱:۲۵۰۰۰ مشهد ۵، سازمان زمین‌شناسی و اکتشافات معدنی کشور، (۱۳۸۶).
- [۲۱] قائمی ف.، "نقشه زمین‌شناسی ۱:۲۵۰۰۰ مشهد ۶، سازمان زمین‌شناسی و اکتشافات معدنی کشور، (۱۳۸۶).
- [22] Belov A.A., Gatinsky Yu.G., Mossakovsky A.A., "A precis on pre-Alpian tectonic history of tethyan paleooceans", Tectonophysics 127 (1986) 197-211.
- [23] Stöcklin J., "Possible Ancient Continental Margin in Iran", In: Burk C.A. & C.L. Drake (eds) The geology of continental margins. Springer, Berlin, (1974) 873-887.
- [24] Eftekharnejad J., Behrooz A., "Geodynamic significance of recent discoveries of ophiolites and late paleozoic rocks in NE Iran (including Kopet Dagh)", Abhandlungen der Geologischen Bundesanstalt, 38 (1991) 89-100.
- [25] Majidi B., "Etude pérostructurale de la région de Mashad (Iran). Les problèmes des méamorphites, serpentinites et granitoïdes hercyniens", Thèse de Docteur Ingenieur, Université Scientifique et Médicale de Grenoble, (1978) 277 pp.
- [26] Majidi B., "The ultrabasic lava flows of Mashhad, North East Iran", Geological Magazine 118 (1981) 49-58.
- [27] Ghazi M., Hassanipak A.A., Tucker P.J., Mobasher B., "Geochemistry and 40Ar- 39Ar ages of the Mashhad Ophiolite, NE Iran", Eos. Trans. AGU 82, (47), Fall Meet (2001)
- [28] Shafaii Moghadam H., Li X.H., Ling X.X., Stern R.J., Zaki Khedr M., Chiaradia M., Ghorbani G., Arai S., Tamura A., "Devonian to Permian evolution of the Paleo-Tethys Ocean: New evidence from U-Pb zircon dating and Sr-Nd-Pb isotopes of the Darrehanjir- Mashhad ophiolites",

- Oceanic Ridges and Ophiolites*", Dordrecht (Kluwer) (1995) 5-34.
- [47] Silantyev S.A., "Origin conditions of the Mid-Atlantic Ridge plutonic complex at 13-17° N", Petrology, 6 (1998) 351-387.
- [48] Franz L., Becker K.P., Kramer W., Herzig P.M., "Metasomatic mantle xenoliths from the Bismarck microplate (Papua New Guinea): thermal evolution, geochemistry and extent of slab-induced metasomatism", Journal of Petrology 43 (2002) 315-343.
- [49] Coltorti M., Bonadiman C., Faccini B., Gregoire M., O'Reilly S.Y., Powell W., "Amphiboles from suprasubduction and intraplate lithospheric mantle", Lithos 99 (2007) 68-84.
- [50] Best M.G., "Mantle-derived amphibole within inclusions in alkalic-basaltic lavas", J. Geophys. Res. 79 (1974) 2107-2113.
- [51] Merrill R.B., Wyllie P.J., "Kaersutite and Kaersutite Eclogite from Kakanui, New Zealand Water-Excess and Water-Deficient Melting to 30 Kilobars", Geological Society of America Bulletin, 86 (4) (1975) 555-570.
- [52] Green D.H., Hibberson W.O., "The instability of plagioclase in peridotite at high pressure", Lithos 3 (1970) 209-221.
- [53] Ionov D., Griffin W.L., O'Reilly S.Y., "Volatile-bearing minerals and lithophile trace elements in the upper mantle", Chemical Geology 141 (1997) 153-184.
- [54] azylev B.A., Silantyev S.A., Kononkova N.N., "Phlogopite and hornblende in spinel harzburgites from the Mid-Atlantic Ridge: mineral assemblages and origin", Ophioliti 24 (1999) 59-60.
- [55] Ionov D.A., Hofmann A.W., "Nb-Ta-rich mantle amphiboles and micas: implications for subduction-related metasomatic trace element fractionations", Earth and Planetary Science Letters 131 (1995) 341-356.
- [38] Dawson J.B. and Smith J.V., "Upper-Mantle Amphiboles: A Review", Mineralogical Magazine 45 (1982) 35-46.
- [39] Cawthorn R.G., "The amphibole peridotite-metagabbro complex, Finero, northern Italy", J. Geol. 83 (1975) 437-454.
- [40] Coltorti M., Siena F., "Mantle tectonite and fractionate peridotite at Finero (Italian Western Alps)", Neues Jahrb. Mineral. Abh. 149 (1984) 225-244.
- [41] Siena F., Coltorti M., "The petrogenesis of a hydrated mafic-ultramafic complex and the role of amphibole fractionation at Finero (Italian Western Alps)", Neues Jahrb. Mineral. Monatsh. (1989) 255-274.
- [42] Arai S., Matsukage K., "Petrology of gabbro-troctolite-peridotite complex from Hess Deep, Equatorial pacific: implications for mantle-melt interaction within the oceanic lithosphere", in: Proceedings of ODP, Scientific Results, 147 (1996) 135-148.
- [43] Arai S., Matsukage K., Isobe E., Vysotskiy S., "Concentration of incompatible elements in oceanic mantle: effect of melt/wall interaction in stagnant or failed melt conduits within peridotite", Geochim. Cosmochim. Acta, 61 (1997) 671-675.
- [44] Frey F.A., Prinz M., "Ultramafic inclusions from San Carlos, Arizona: petrologic and geochemical data bearing on their petrogenesis", Earth Planet. Sci. Lett. 38 (1978) 129-176.
- [45] Lensch G., "Die Ultramafitite der Zone von Ivrea und ihre geologische Interpretation", Schweiz. Min. Petr. Mitt., 48 (1968) 91-102.
- [46] Cannat M., Casey J.F., "An ultramafic lift at the Mid-Atlantic Ridge: successive stages of magmatism in serpentinized peridotites from the 15°N region. In Vissers R.L.M., and Nicolas A. (Eds.), Mantle and Lower Crust Exposed in